

## 0<sub>2</sub>ガス流量を制御した Ti-Cu-O 層を持つ TiO<sub>2</sub>/Ti-Cu-O 薄膜の光触媒特性

### Photocatalytic properties of TiO<sub>2</sub>/Ti-Cu-O thin films with Ti-Cu-O layers controlled by the O<sub>2</sub> gas flow rate

橋爪駿亮

指導教員 鷹野一朗, 研究協力者 柿澤立樹

工学院大学 工学部 電気電子工学科 電気電子機能材料研究室

本研究では、Ti-Cu-O 混合層を下層に配置した TiO<sub>2</sub>薄膜におけるメカニズムを解明するため、下層作製時のO<sub>2</sub>ガス流量による光触媒特性の変化を光エネルギーの吸収や反射などの面から調査した。その結果、O<sub>2</sub>ガス流量を一定値まで増加させることで単体のTiO<sub>2</sub>薄膜を超える光触媒特性が得られることを確認した。

キーワード：光触媒薄膜，TiO<sub>2</sub>，Ti-Cu-O 混合層，反応性スパッタリング法

#### 1. 緒言

近年、私たちの生活環境を支える材料の一つとして光触媒の研究が盛んである。身近なところではチタンの酸化物である TiO<sub>2</sub> が有名である。TiO<sub>2</sub> は電子と非常に高い酸化力を持つ正孔を利用し、抗菌、脱臭、有害化学物質の無害化などに効果を発揮する。これらの機能は、太陽の光エネルギーによって発現することから、環境にやさしい材料として注目されている<sup>1)</sup>。

本研究室では TiO<sub>2</sub> を主体とした光触媒の高効率化について検討しており、先行研究では Ti と CuO を混合させた Ti-Cu-O 層を TiO<sub>2</sub> 層の下層に挿入することで光触媒効果の向上を確認した<sup>2)</sup>。本研究では、下層の成膜時の O<sub>2</sub> ガス流量を変化させることで光触媒効果にどのような影響があるかを、光エネルギーの吸収や反射などの面から調査した。

#### 2. 実験方法

##### 2-1 成膜方法

試料基板として無アルカリガラス EAGLE XG を用い、エタノールにより 10 分間超音波洗浄した。洗浄した基板をマルチプロセスコーティング装置 (BC5146, ULVAC Corp.) の試料導入室のストッカーにセットし真空排気した。その後、中間室に移動し真空中での基板洗浄のため Ar による逆スパッタリングを 10 分間行った。さらに基板を成膜室に移動し、赤外線ランプにより 430°C で加熱した。酸

化物の成膜は反応性スパッタリングにより表 1 の条件で行い、表 2 のような薄膜構成からなる 6 つの試料を作製した。

表 1 成膜条件

試料名	TiO <sub>2</sub> 層(上層)	Ti-Cu-O層(下層)					
		1.5	1.0	1.3	1.4	1.7	2.0
O <sub>2</sub> ガス流量 [sccm]	1.5						
基板加熱温度 [°C]	430						430
試料膜厚 [nm]	200						100
Tiターゲット入力電力 [W]	100						100
TiのAr流量 [sccm]	20						20
Cuターゲット入力電力 [W]	—						30
CuのAr流量 [sccm]	—						15
Tiスパッタートレート [nm/s]	0.023	0.027	0.025	0.025	0.020	0.013	
Cuスパッタートレート [nm/s]	—	0.047	0.0465	0.046	0.0455	0.045	

表 2 作製試料

No.	薄膜構成	膜厚 [nm]	O <sub>2</sub> ガス流量 [sccm]
①	TiO <sub>2</sub> 単体 TiO <sub>2</sub> /Ti-Cu-O	200	1.5
②			1.5/1.0
③			1.5/1.3
④		200/100	1.5/1.4
⑤			1.5/1.7
⑥			1.5/2.0

##### 2-2 評価方法

光学特性は紫外可視分光光度計 (UV-2550, (株)島津製作所) を用いて、波長 300~800 nm の吸光度を測定した。光触媒特性はメチレンブルー浸漬試験により評価した。メチレンブルー浸漬試験は、濃度 10 ppm, 3 ml のメチレンブルー溶液を石英セルに満たし試料を浸漬した。浸漬した試料に人工太陽灯 (100mW/cm<sup>2</sup>) を照射し、メチレンブルー溶液

の透過率を分光光度計で測定することで、光触媒効率の評価とした。結晶構造は、薄膜X線回折装置(XRD: Rigaku Co.Ltd. SmartLab)を用いて入射角0.4°で測定した。

### 3. 実験結果

光学特性を図1に示す。横軸は波長、縦軸は吸光度である。波長400 nm以下には、 $\text{TiO}_2$ に起因する光吸收があり、 $\text{O}_2$ ガス流量を1.0, 1.3, 1.4, 1.7 sccmとした②, ③, ④, ⑤では可視光全域で透明性が低下(吸光度は上昇)していることが確認できた。

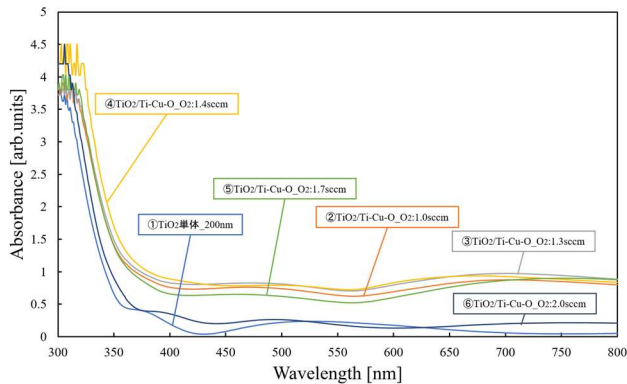


図1 各試料の吸光度特性

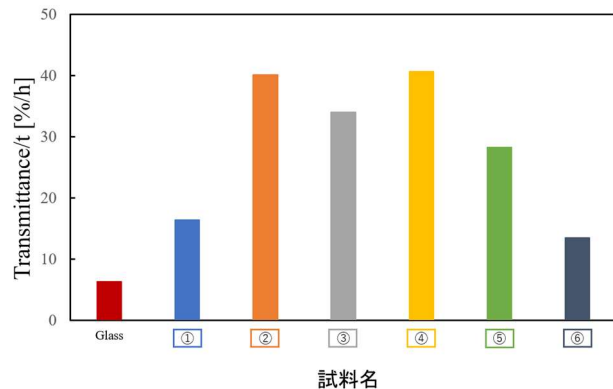


図2 各試料のメチレンブルー溶液の分解速度

次に光触媒特性を図2に示す。単位時間当たりのメチレンブルー溶液の透過率変化を縦軸に表した。Glassはメチレンブルー溶液の光照射による自然分解速度を示している。 $\text{O}_2$ ガス流量を1.0, 1.3, 1.4sccmとした試料②, ③, ④は単体の $\text{TiO}_2$ 薄膜①の2倍以上の分解速度となり、 $\text{O}_2$ ガス流量が1.4sccmである試料④のとき最大であった。一方で、

$\text{O}_2$ ガス流量をさらに増加すると、分解速度はいずれも単体の $\text{TiO}_2$ 薄膜を下回ることが $\text{O}_2$ ガス流量が1.7sccmである試料⑤, および2.0sccmである試料⑥から確認できた。

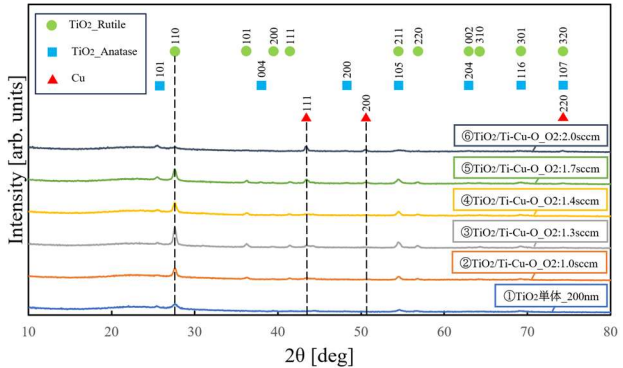


図3 各試料の結晶構造

図3にはXRD測定による薄膜の結晶構造を示す。 $\text{O}_2$ ガス流量をそれぞれ1.0, 1.3, 1.4, 1.7sccmとした②, ③, ④, ⑤ではルチル型の結晶構造を持つ $\text{TiO}_2$ のピークが確認できた。また、 $\text{O}_2$ ガス流量が1.7, 2.0sccmである試料⑤, ⑥においては他の試料と比較してより強いCuのピークが現れた。

### 4. 考察およびまとめ

本研究では、 $\text{TiO}_2/\text{Ti-Cu-O}$ 光触媒薄膜の下層成膜において、 $\text{O}_2$ ガス流量を増加させることによって $\text{TiO}_2$ 単体以上の光触媒特性が得られることを確認した。一方で $\text{O}_2$ ガス流量を2.0 sccmまで増加させると光触媒効率が $\text{TiO}_2$ 単体を下回ることも確認した。XRD測定により $\text{O}_2$ ガス流量を増加させると薄膜の結晶構造にCuのピークが顕著に表れたことから、光触媒効率の低下が反応面の結晶構造の変化によるものと考察できた。今後は、成膜した試料表面を詳細に解析し、 $\text{O}_2$ ガス流量による構造変化の要因を明らかにする。

### 参考文献

- 橋本和仁, 藤嶋昭:「図解光触媒のすべて」株式会社工業調査会 (2003)
- 柿澤立樹:「 $\text{TiO}_2$ 多層膜の下層 $\text{Ti-Cu-O}$ が光触媒特性に与える影響」第42回光がかかる触媒化学シンポジウム (2023)